

บทที่ 2

เอกสารและงานวิจัยที่เกี่ยวข้อง

ทฤษฎีที่เกี่ยวข้องที่ใช้ประกอบการวิเคราะห์ประสิทธิภาพระบบโรงไฟฟ้า

ทฤษฎีที่เกี่ยวข้องที่ใช้ประกอบการวิเคราะห์ประสิทธิภาพระบบโรงไฟฟ้าซึ่งทฤษฎีที่ใช้ในการวิเคราะห์ประกอบด้วย (บันทิต ชูหัวพย์ และบรรยาย ชุมศรี, 2549)

1. กฎข้อที่ 1 ของเทอร์โมไดนามิกส์

2. วัฏจักรแรงคิน

เทอร์โมไดนามิกส์ (thermodynamics) หมายถึง การเคลื่อนที่ของความร้อน ความสัมพันธ์ของความร้อน (heat) และงาน (work) รวมถึงคุณสมบัติต่าง ๆ ของสารโดยการนำเอาการเปลี่ยนแปลงของสาร เช่น การเก็บสะสมพลังงาน การขยายตัว การถ่ายเทพลังงาน ของสารมาใช้ประโยชน์ โดยเฉพาะอย่างยิ่งกับการทำงานของเครื่องกลความร้อนต่าง ๆ ภายในโรงไฟฟ้า เช่น หม้อน้ำ กังหันไอน้ำ เครื่องควบแน่น้ำไอน้ำ อุปกรณ์เล็กเปลี่ยนความร้อน และอื่น ๆ ซึ่งให้หลักการของเทอร์โมไดนามิกส์ในการพิจารณาถึงประสิทธิภาพการทำงานของเครื่องจักร ในส่วนวัฏจักรแรงคินนี้เป็นทฤษฎีที่ใช้วิเคราะห์การทำงาน ของ โรงจักรไอน้ำในคุณคติ (Ideal cycle) ซึ่งจะใช้ในการคำนวณหาประสิทธิภาพด้านพลังงานของโรงไฟฟ้า โดยที่แต่ละหัวข้อเนื้อหาทางทฤษฎี ดังนี้

1. กฎข้อที่ 1 ของเทอร์โมไดนามิกส์

กฎข้อที่ 1 ของเทอร์โมไดนามิกส์เป็นความสัมพันธ์ระหว่างอัตราความร้อน (Heat) และกำลังงาน (Work) ซึ่งนิยามของกฎข้อที่ 1 มีอยู่ว่า ในระบบปิดใดๆ ตามที่มีการทำงานครบ วัฏจักร (Thermodynamic cycle) นั้นผลรวมทางพิชณิตของกำลังงานจะเท่ากับผลรวมทางพิชณิตของอัตราความร้อน ซึ่งเขียนเป็นสมการได้ดังนี้ (วิวัฒน์ ภัททิธนี, 2549)

$$Q = W \quad (1)$$

โดยที่ Q คือ อัตราความร้อน (J/s หรือ KJ/s)

W คือ กำลังงาน (W หรือ KW)

ในทางเทอร์โมไดนามิกส์ อัตราความร้อน (Q) จะเกิดขึ้นในขณะที่มวลของสารตัวกลางเคลื่อนที่และเกิดการเปลี่ยนแปลงสภาพจากสภาพหนึ่งไปสู่อีกสภาพหนึ่ง ซึ่งความร้อน

น้ำรับเข้ามาในระบบหรือเคลื่อนที่ออกจากระบบก็ได้ ซึ่งในระบบปิดได้ ก็ตามที่มวลสารเคลื่อนที่อย่างสม่ำเสมอ ผลกระทบของพลังงานที่เข้าสู่ระบบจะเท่ากับผลกระทบของพลังงานที่ออกจากระบบ

ระบบเปิดที่มีการไหลสม่ำเสมอ (steady flow system) มีลักษณะที่สำคัญ คือ มวลสารไหลเข้ามายอดเดช เข้าและออกจากระบบด้วยอัตราสม่ำเสมอ และไม่มีการเปลี่ยนแปลง พลังงานที่สะสมอยู่ภายในระบบ คือ

$$\Delta E = 0$$

$$\dot{m}_{in} = \dot{m}_{out}$$

ในการนี้ของระบบนี้สามารถหาค่าพลังงานได้ซึ่งใช้สมการที่เรียกว่า สมการ พลังงานของระบบเปิดที่มีการไหลสม่ำเสมอ (Steady Flow Energy Equation: SFEE) การหาค่าสมการพลังงานของระบบนี้สามารถใช้กฎการทรงพลังงานมาดัดแปลงได้ดังนี้

$$\text{พลังงานที่เข้าระบบ} = \text{การเปลี่ยนแปลงของพลังงานที่อยู่ในระบบ} + \text{พลังงานออกจากรอบบ }$$

$$\text{หรือ } E_{in} = \Delta E + E_{out}$$

แต่ในระบบเปิดที่มีการไหลสม่ำเสมอ

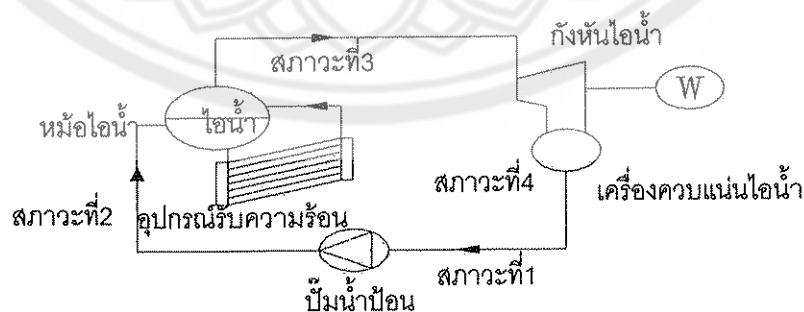
$$\dot{m}_{in} = \dot{m}_{out} \text{ และ } \Delta E = 0$$

ดังนั้น

$$E_{in} = E_{out} \quad (2)$$

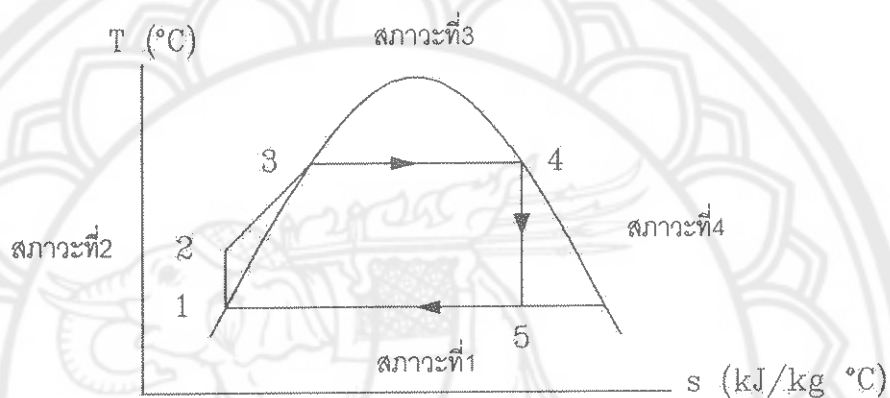
2. วัฏจักรแรงดัน

วัฏจักรแรงดันนั้นเป็นวัฏจักรไอน้ำทางทฤษฎี (Ideal Cycle) ซึ่งเป็นต้นแบบของ โรงจักรไอน้ำพลังความร้อนในปัจจุบัน ในการพิจารณาประสิทธิภาพของโรงจักรไอน้ำนั้นจะใช้ วัฏจักรแรงดันเป็นตัวเปรียบเทียบประสิทธิภาพ (วิรัฒน์ ภททพยานี, 2549)



ภาพ 2 วัฏจักรแรงดัน

การทำงานของวัฏจักรแรงดัน เริ่มต้นจากน้ำที่มาจากการเครื่องควบแน่นซึ่งมีความดันและอุณหภูมิต่ำ (สภาพที่ 1) ซึ่งจะต้องถูกปั๊มให้มีความดันสูงพอที่จะส่งเข้าหม้อน้ำ (สภาพที่ 2) จากนั้นน้ำจะรับความร้อนและเปลี่ยนสถานะเป็นไอน้ำ (สภาพที่ 3) ซึ่งไอน้ำนี้นำไปใช้ขับกังหันไอน้ำเพื่อผลิตกำลังงาน เมื่อไอน้ำออกจากกังหันไอน้ำจะมีสถานะเป็นไอน้ำเปียกและมีความชื้น (สภาพที่ 4) มีความดันและอุณหภูมิต่ำ ไอน้ำเปียกนี้ต้องการรายความร้อนออกเพื่อให้ตัวเองควบแน่นกลับมาเป็นน้ำอีกครั้ง



ภาพ 3 ไดอะแกรมอุณหภูมิ – เอนโทรปีของวัฏจักรแรงดัน

การคำนวนประสิทธิภาพด้านพลังงานของวัฏจักรแรงดัน

งานที่ให้กับปั๊มน้ำป้อนหม้อน้ำ (W_p) จากภาพที่ การคำนวนใช้สมการ SFEE ซึ่งมีรูปแบบสมการดังนี้

$$\begin{array}{ll} \text{จากสมการ} & Q - W = \Delta H \\ \text{ดังนั้น} & W_p = W_{12} = m(h_1 - h_2) \end{array} \quad (3)$$

หรือคำนวนในเทอมของความดันแตกต่างของทางเข้าและทางออกของน้ำมันน้ำ ซึ่งมีรูปแบบสมการดังนี้

$$\begin{array}{ll} \text{จากสมการ} & m(h_2 - h_3) = m v_1 (P_1 - P_2) \\ \text{ดังนั้น} & W_p = m v_1 (P_2 - P_1) \\ \text{โดยที่} & W_p \quad \text{คือ กำลังงานที่ให้กับปั๊มน้ำป้อนหม้อน้ำ (kW)} \\ & P_1 \quad \text{คือ ความดันของน้ำในจุดที่ 1, (ทางเข้าของปั๊มน้ำ) (bar)} \\ & P_2 \quad \text{คือ ความดันของน้ำในจุดที่ 2, (ทางออกจากปั๊มน้ำ) (bar)} \end{array} \quad (4)$$

ความร้อนที่ได้จากหม้อไอน้ำ (\dot{Q}_b) จากภาพ 3 การคำนวณให้สมการ SFEE ซึ่งมีรูปแบบสมการดังนี้

$$\begin{array}{ll} \text{จากสมการ} & \dot{Q}_b - W = \Delta H \\ \text{ดังนี้} & \dot{Q}_b = Q_{23} = m(h_2 - h_3) \\ \text{โดยที่} & \dot{Q}_b \quad \text{คือ ความร้อนที่ได้จากหม้อไอน้ำ (kJ/s)} \\ & h_2 \quad \text{คือ เอนthalpieของน้ำที่จุดที่ 2, (น้ำป้อนหม้อไอน้ำ) (kJ/kg)} \\ & h_3 \quad \text{คือ เอนthalpieของไอน้ำที่หม้อไอน้ำผลิตได้ (kJ/kg)} \end{array} \quad (5)$$

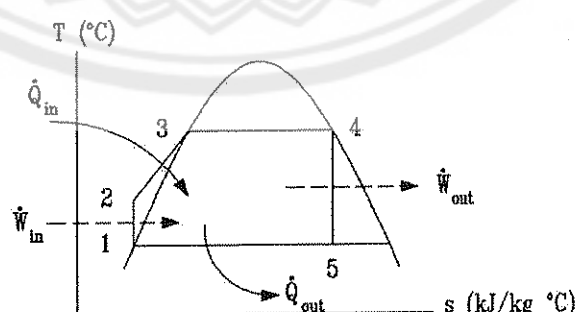
กำลังงานที่ได้จากการกัดหินไอน้ำ (W_T) จากภาพ 3 การคำนวณให้สมการ SFEE ซึ่งมีรูปแบบสมการดังนี้

$$\begin{array}{ll} \text{จากสมการ} & \dot{Q} - W = \Delta H \\ \text{ดังนี้} & W_T = W_{45} = m(h_4 - h_5) \\ \text{โดยที่} & W_T \quad \text{คือ กำลังที่ได้จากการกัดหินไอน้ำ (kW)} \\ & h_4 \quad \text{คือ เอนthalpieของไอน้ำที่เข้าชั้บกัดหินไอน้ำ (kJ/kg)} \\ & h_5 \quad \text{คือ เอนthalpieของไอน้ำที่ออกจากการกัดหิน (kJ/kg)} \end{array} \quad (6)$$

ความร้อนที่ระบบออกที่เครื่องควบแน่นไอน้ำ (Q_c) จากภาพ 3 การคำนวณให้สมการ SFEE ซึ่งมีรูปแบบสมการดังนี้

$$\begin{array}{ll} \text{จากสมการ} & \dot{Q} - W = \Delta H \\ \text{ดังนี้} & \dot{Q}_c = Q_{51} = m(h_1 - h_5) \\ \text{โดยที่} & \dot{Q}_c \quad \text{คือ ความร้อนที่เครื่องควบแน่นระบบออก (kJ/s)} \\ & h_1 \quad \text{คือ เอนthalpieจุดที่ 1 (น้ำจากการควบแน่นของไอน้ำ) (kJ/kg)} \\ & h_5 \quad \text{คือ เอนthalpieจุดที่ 5 (ไอน้ำออกจากกัดหินไอน้ำ) (kJ/kg)} \end{array} \quad (7)$$

งานสุทธิรอบวัฏจักร (W_{net}) คำนวณได้ดังนี้



ภาพ 4 ไดอะแกรมแสดงความร้อนและงานเข้า ออกจากระบบ

งานของวัสดุจagger $\dot{W}_{net} = m(\dot{W}_T - \dot{W}_P)$ (8)

ประสิทธิภาพของวัสดุจagger (η_R)

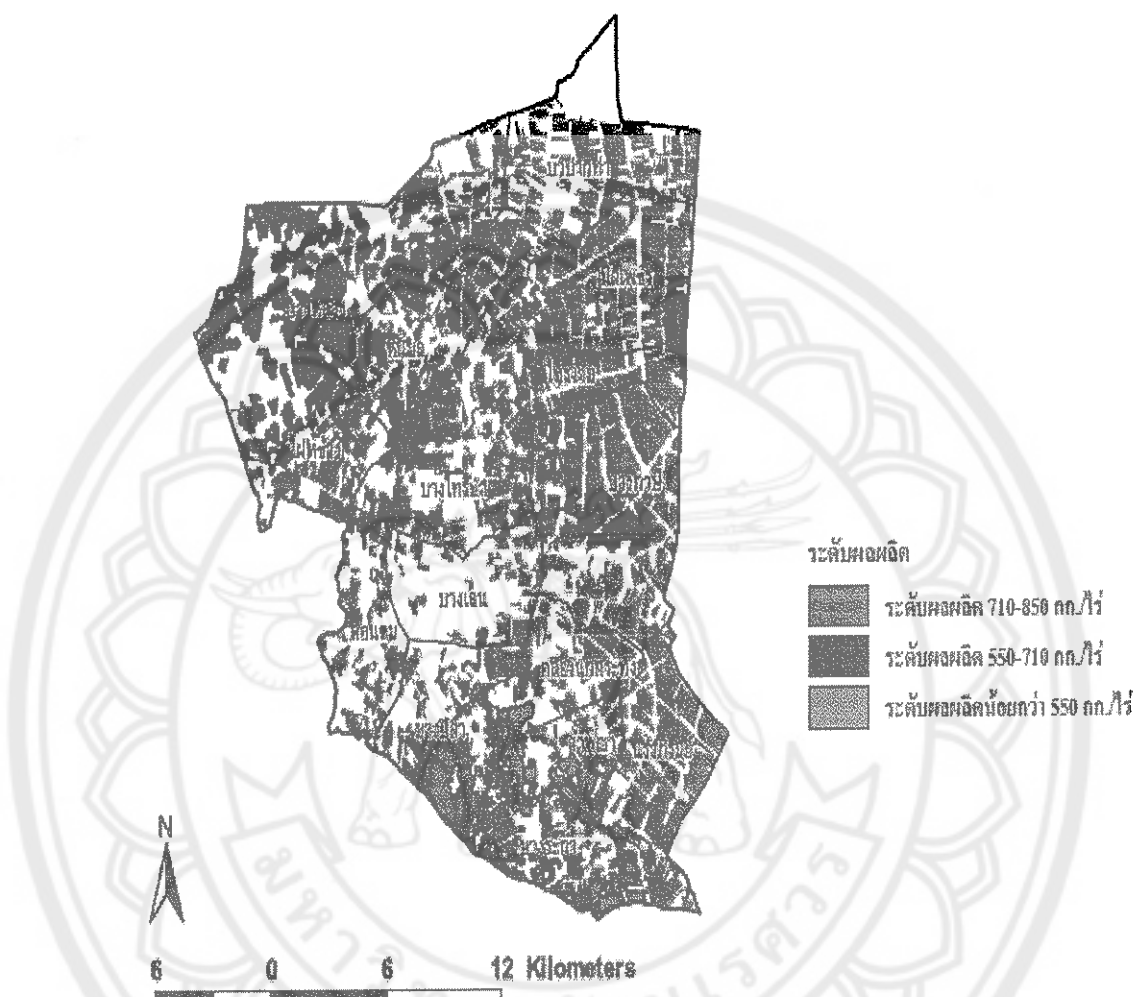
$$\begin{array}{ll} \text{เมื่อ} & \dot{Q}_{in} = \dot{Q}_b \\ \text{ดังนั้น} & \eta_R = \frac{\dot{W}_{net}}{\dot{Q}_b} \times 100 \end{array} \quad (9)$$

ข้อมูลเบื้องต้นทางด้านวัสดุดิบ และที่มาของเชือเพลิง

เนื่องจากโรงไฟฟ้าชีวมวลขนาด 1,500 กิกโวตต์ มีสถานที่ประกอบการตั้งอยู่ภายใน โรงสีข้าว รัฐวิสาหกิจ นครปฐม (2521) ซึ่งโรงไฟฟ้าแห่งนี้ผลิตไฟฟ้าเพื่อใช้ภายในโรงสีข้าว และมีส่วนที่เหลือจำหน่ายให้กับการไฟฟ้าส่วนภูมิภาค โดยเชือเพลิงหลักที่ใช้อยู่ภายในโรงไฟฟ้า คือแกงอบที่ส่งมาจากโรงสีข้าวเป็นหลัก เชือเพลิงที่ได้มาจากโรงสีข้าวซึ่งมีอยู่นั้นจะได้มารอย่างต่อเนื่อง ทำให้ตอบสนองต่อการผลิตกระแสไฟฟ้า เนื่องจากโรงสีข้าวเดินเครื่องเดินเครื่องผลิตข้าวสารถึง 11 เดือนต่อปี และทำงาน 24 ชั่วโมง ประกอบกับโรงสีข้าว รัฐวิสาหกิจ นครปฐม (2521) มีสถานที่ตั้ง โรงงานอยู่ในแหล่งพื้นที่เพาะปลูก คือ อำเภอบางเลน จังหวัดนครปฐม และมีกำลังการผลิตอยู่ที่ 500 ตันต่อวัน

จังหวัดนครปฐม เป็นแหล่งผลิตข้าวที่สำคัญแห่งหนึ่งของภาคกลาง มีพื้นที่ปลูกข้าวทั้งสิ้น 362,620 ไร่ หรือ ประมาณร้อยละ 45 ของพื้นที่เกษตรกรรมทั้งหมด เนื่องจากมีปัจจัยการผลิต ขั้นพื้นฐานสมบูรณ์ ทำนาได้ตลอดปี จากเหตุผลดังกล่าว ทำให้เกษตรกรทำนาได้ผลผลิตเฉลี่ย 850 กิกโกรัมต่อไร่ ด้วยเหตุผลดังกล่าว ทำให้โรงสีรัฐวิสาหกิจ นครปฐม (2521) สามารถเดินเครื่อง สีข้าวได้เกือบทั้งปี (กรมการข้าว, 2552)

อำเภอบางเฉน

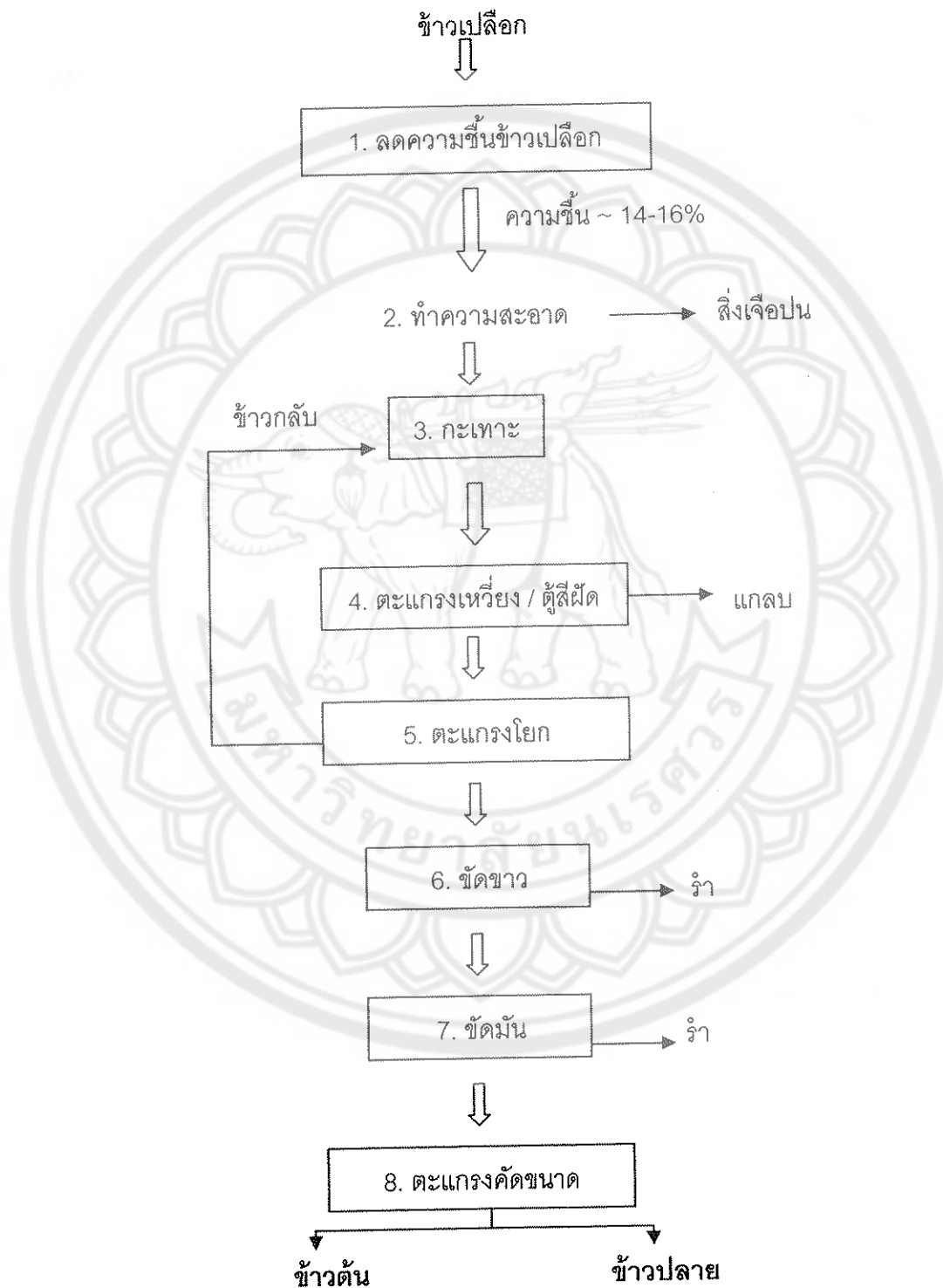


ภาพ 5 แผนที่แสดงผลผลิตในพื้นที่นาอำเภอบางเฉน

ที่มา: กรมการข้าว, 2552

กระบวนการผลิตในโรงสีข้าว

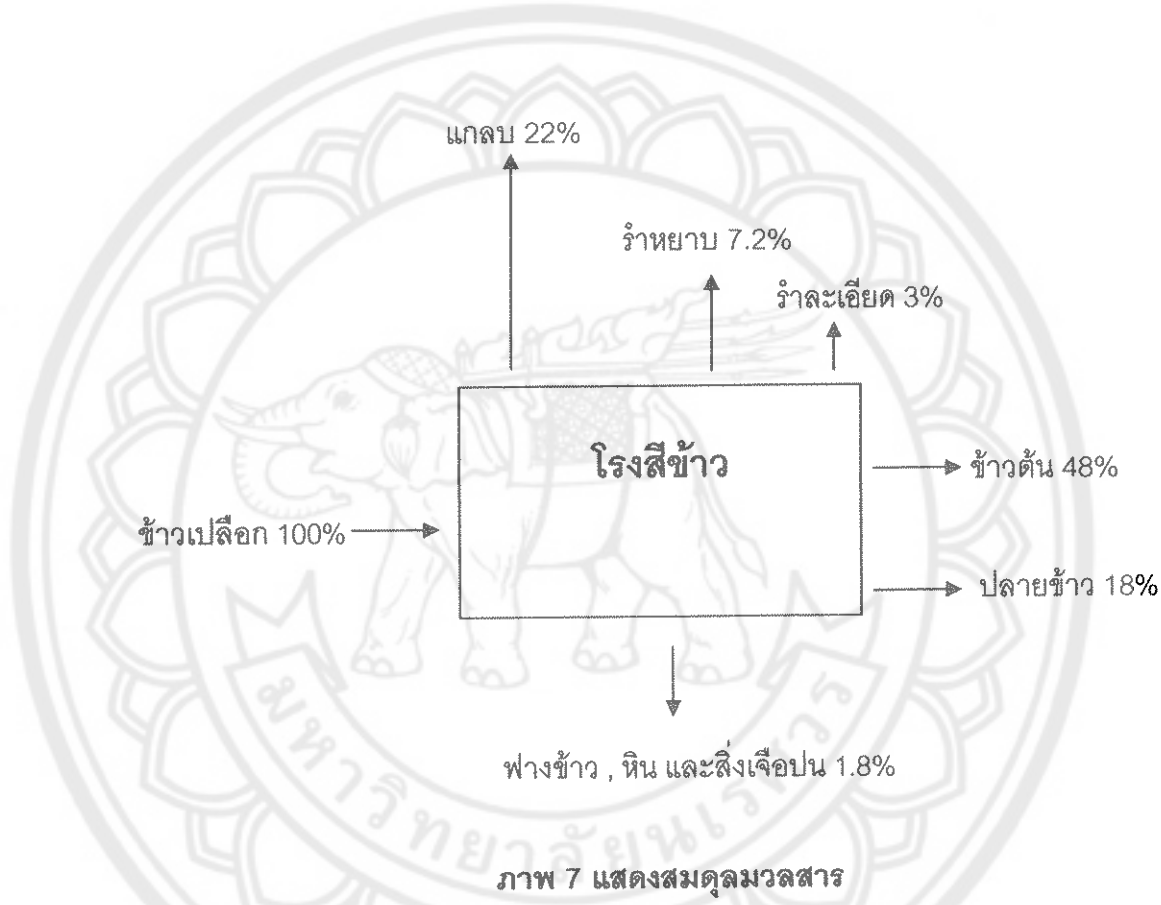
กระบวนการสีข้าว เป็นกระบวนการแปรรูปผลผลิตทางการเกษตร ประกอบด้วยขั้นตอน การสะเทาข้าวเปลือก การขัดข้าว และแกลบเป็นผลลอยได้จากการสีข้าว



ภาพ 6 แสดงกระบวนการผลิตข้าวสาร

เชื้อเพลิงแกลบ

แกลบเป็นผลผลอยได้จากการสีข้าว ซึ่งในการสีข้าวนั้นจะพบว่า ข้าวเปลือก 1,000 กิโลกรัม จะได้แกลบออกมา 220 กิโลกรัม หรือคิดเป็นร้อยละ 22 ซึ่งน้ำหนักข้าวเปลือกนั้น จะแบ่งเป็น ข้าวตันร้อยละ 48 ข้าวปลายร้อยละ 18 รำละเอียคร้อยละ 3 รำหยาบร้อยละ 7.2 ที่เหลือจะเป็นฟางข้าวและสิ่งเจือปนร้อยละ 1.8



1. การใช้ประโยชน์จากแกลบ

ปัจจุบันการนำแกลบมาใช้ประโยชน์สามารถแบ่งได้เป็น 2 แบบ ดังนี้

1.1 นำไปใช้เป็นเชื้อเพลิง โดยเริ่มนั่นจะใช้ภายในโรงสีก่อน เนื่องจากโรงสีเหลือใช้ก็จะขายให้กับโรงงานอุตสาหกรรมที่ใช้มือไอน้ำเชื้อเพลิงจากชีวนะเพื่อผลิตไอน้ำและรวมไปถึงโรงไฟฟ้าชีวนะอีกด้วย

1.2 นำไปใช้ทำประโยชน์ด้านอื่นๆ เช่นปูพื้นเด็กໄก หรือนำไปผสมกับดินเพื่อปลูกผัก หรือใช้ในการเกษตร

2. ราคาแกลบ

ราคากลบที่ซื้อขายใน พ.ศ.2533 นั้นมีราคาต่ำมาก เมื่อเทียบกับราคาน้ำมันดิบ ซึ่งราคาขายจากโรงสีประมาณตันละ 150-200 บาท ซึ่งเป็นราคาน้ำมันดิบทั่วประเทศ ในบางห้องที่ไม่มีอุตสาหกรรมป่างาทที่ต้องใช้พลังงานความร้อนหรืออยู่ห่างไกลการคมนาคมขนส่งไม่สะดวก กลบจะไม่มีมูลค่า (วรรณี เอกศิลป์, 2539)

จากที่กล่าวมาแล้วจะเห็นว่า ราคากลบนั้นไม่แน่นอน แต่ในปัจจุบันนี้กลบเป็นเชื้อเพลิงที่นิยมใช้กันอย่างมากทั้งในโรงงานอุตสาหกรรมที่ใช้อิน้ำและโรงไฟฟ้าเชิงมวล ด้วยเหตุผลนี้จึงทำให้ราคากลบสูงขึ้น โดยเฉลี่ยอยู่ที่ 1,000 บาทต่oton

3. คุณสมบัติทางกายภาพของเชื้อเพลิงกลบ

กลบมีคุณสมบัติในด้านการเป็นเชื้อเพลิงได้ดี แต่ยังมีข้อเสียคือ เมื่อทำการเผาไหม้ไปแล้วจะทำให้เกิดควันในปริมาณที่สูงถึงร้อยละ 15.7-21.3 นอกจากนี้ยังมีความหนาแน่นต่ำประมาณ 0.735 กรัมต่อลูกบาศก์เซนติเมตร ค่าความร้อนนี้จะขึ้นอยู่กับ ค่าความชื้นในกลบ (วรรณี เอกศิลป์, 2539)

จากการวิเคราะห์โดยกรมวิทยาศาสตร์ และบริการ พ布ว่า เชื้อเพลิงกลบของ ห.ส.น.ธัญญา นครปฐม (2521) มีองค์ประกอบ คือ คาร์บอน (C) ไฮโดรเจน (H) ออกซิเจน (O) ไนโตรเจน (N) ชัลเฟอร์ (S) และชี๊เด้า (Ash) ค่าความร้อนด้านสูง (HHV) และค่าความร้อนด้านต่ำ (LHV) ดังแสดงในตาราง 1

ตาราง 1 ส่วนประกอบของกลบแห้ง

ส่วนประกอบ	ปริอัตร์เป็น%
คาร์บอน	40.5
ไฮโดรเจน	5.8
ออกซิเจน	36.5
ไนโตรเจน	0.37
ชัลเฟอร์	0.03
ชี๊เด้า	16.8

ที่มา: ข้อมูลจากภาคผนวก ค

แกลบมีคุณสมบัติในด้านการนำมาเป็นเชื้อเพลิงได้เป็นอย่างดี โดยทั่วไปค่าความร้อนสูงของแกลบจะมีค่าอยู่ที่ 14,767 kJ/kg ค่าความร้อนต่ำอยู่ที่ 13,508 kJ และค่าความชื้นแกลบอยู่ที่ร้อยละ 8.1

4. ปัญหาในการใช้เชื้อเพลิงแกลบ

วรรณี เอกศิลป์ (2539) ได้ศึกษาว่า แกลบเป็นเชื้อเพลิงที่ดีและเป็นเชื้อเพลิงชีวมวลที่สะอาด ในปัจจุบันนิยมใช้กันอย่างแพร่หลายในโรงงานอุตสาหกรรมที่ใช้ไอน้ำและโรงไฟฟ้าชีวมวลแต่เชื้อเพลิงแกลบนั้นก็ยังมีปัญหาในการนำไปใช้ดังนี้

4.1 ระบบการป้อนเชื้อเพลิงแกลบที่ใช้อยู่ในปัจจุบันมีการป้อนเชื้อเพลิงตามปริมาณทำให้ปริมาณความร้อนไม่คงที่

4.2 ค่าใช้จ่ายในการขนส่งสูง เพราะความหนาแน่นของแกลบต่อน้ำหนักบรรจุได้ประมาณ 140 กิโลกรัมต่อลูกบาศก์เมตร ทำให้รถบรรทุก 10 ล้อ ชนสูงได้เที่ยวละ 6-8 ตัน

4.3 ปัญหาเรื่องที่เก็บเชื้อเพลิงแกลบจะต้องใช้พื้นที่มาก

4.4 ปัญหาด้านเด็กแกลบที่ตกค้างในห้องเผาไหม้

4.5 เด็กแกลบบางส่วนที่มีน้ำหนักเบา จะปลิวไปกับก้าชร้อน ตกค้างในห้องแลกเปลี่ยนความร้อนของหม้อไอน้ำ ทำให้ประสิทธิภาพของหม้อไอน้ำลดลงได้

4.6 มีเขม่าและละอองเด็กแกลบปนออกมากับไอกลายของหม้อไอน้ำ ซึ่งจะเป็นปัญหาต่อสิ่งแวดล้อม

4.7 ปัญหาจากชิลิกาในเด็กแกลบซึ่งมีอยู่ประมาณร้อยละ 95 ของเด็กแกลบชิลิกา ส่วนนี้ เมื่อปลิวไปกับก้าชร้อนที่มีความร้อนสูง จะขัดสิ่นังหัวและผิวนมไอน้ำ ทำให้โลหะหรือท่อบางลง

4.8 ปัญหาการกำจัดเด็กแกลบซึ่งต้องการที่ทิ้ง

การดำเนินโครงการกลไกการพัฒนาพลังที่สะอาด (Clean Development Mechanism: CDM)

กลไกการพัฒนาพลังงานที่สะอาดเป็นกลไกที่กำหนดขึ้นภายใต้พิธีสารเกียวโต เพื่อช่วยให้ประเทศอุตสาหกรรมที่มีพันธะกรณีในการลดก๊าชเรือนกระจก สามารถบรรลุพันธะกรณีได้ และเพื่อสนับสนุนการพัฒนาที่ยั่งยืนของประเทศที่กำลังพัฒนา

โครงการที่เกิดขึ้นในประเทศไทยที่กำลังพัฒนาและสามารถพิสูจน์ได้ว่าลดก๊าชเรือนกระจกได้จริง จะได้รับเครดิตที่เรียกว่า Certified Emission Reductions (CERs) จากการดำเนินงานตามกลไกพัฒนาพลังงานที่สะอาด (CDM)

การคำนวณการลดก๊าซเรือนกระจก

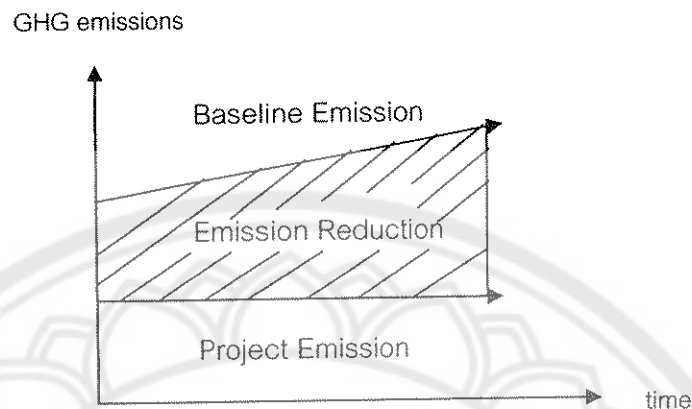
ก๊าซเรือนกระจกที่ครอบคลุม ประกอบด้วย ก๊าซ 6 ชนิด โดยแต่ละชนิดมีศักยภาพทำให้เกิดภาวะโลกร้อน (Global Warming Potential: GWP) แตกต่างกัน เช่น การลดการปล่อยก๊าซมีเทน 1 ตัน จะเทียบเท่าการลดก๊าซคาร์บอนไดออกไซด์ได้ 21 ตัน ดังแสดงในตาราง 2

ตาราง 2 แสดงก๊าซเรือนกระจกที่ถูกควบคุมภายใต้พิธีสารเกียวโตและค่าศักยภาพในการทำให้โลกร้อน

ก๊าซเรือนกระจก	ศักยภาพในการทำให้โลกร้อน (เท่าของคาร์บอนไดออกไซด์)
1. คาร์บอนไดออกไซด์ (CO_2)	1
2. มีเทน (CH_4)	21
3. ไนโตรสออกไซด์ (N_2O)	310
4. ไฮโดรฟลูอโอดิคาบอน (HFCs)	140-11,700
5. เปอร์ฟลูอโอดิคาบอน (PFCs)	6,500-9,200
6. ชัลเฟอร์hexafluoไรด์ (SF_6)	23,900

ที่มา: องค์กรบริหารก๊าซเรือนกระจก, 2551

$$\text{GHG Emission Reduction} = \frac{\text{Baseline Emission}}{(\text{t CO}_2\text{e/y})} - \frac{\text{Project Emission+Leakage}}{(\text{t CO}_2\text{e/y})}$$



ภาพ 8 แสดงปริมาณการปล่อยก๊าซเรือนกระจกที่ลดได้

ที่มา: องค์กรบริหารก๊าซเรือนกระจก, การคำนวณการลดก๊าซเรือนกระจก, 2551

จากสมการ

GHG Emission Reduction	= ปริมาณการปล่อยก๊าซเรือนกระจกที่ลดได้ (ต้นคาร์บอนไดออกไซด์เทียบเท่าต่อปี)
Baseline Emission	= ปริมาณการปล่อยก๊าซเรือนกระจกในกรณีฐาน (ต้นคาร์บอนไดออกไซด์เทียบเท่าต่อปี)
Project Emission	= ปริมาณการปล่อยก๊าซเรือนกระจกจากการดำเนินโครงการ (ต้นคาร์บอนไดออกไซด์เทียบเท่าต่อปี)
Leakage	= ปริมาณการปล่อยก๊าซเรือนกระจกที่เกิดขึ้นอันเนื่องมาจากการ โครงการแต่เกิดขึ้นภายนอกขอบเขตของโครงการ (ต้นคาร์บอนไดออกไซด์เทียบเท่าต่อปี)

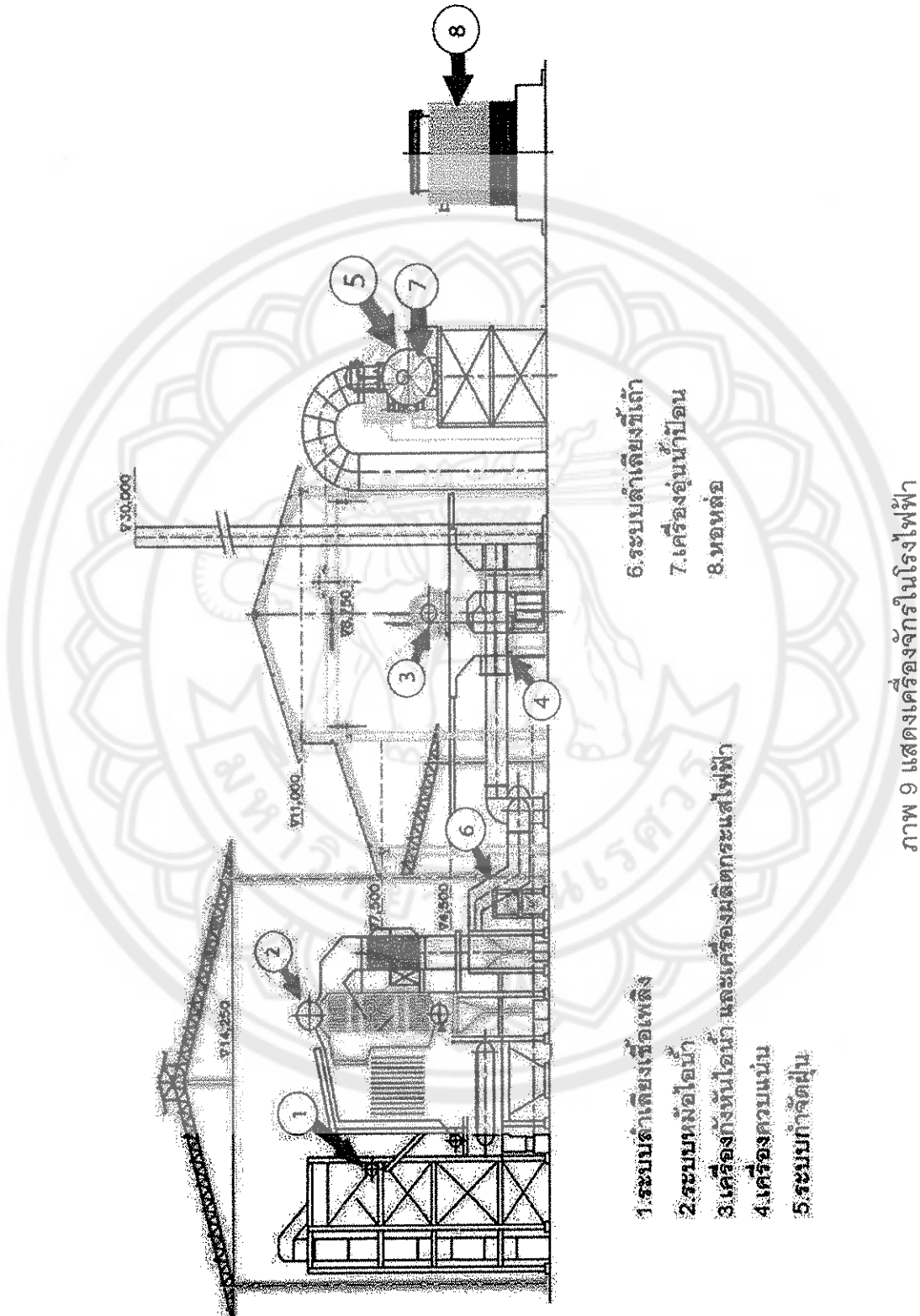
กระบวนการผลิตของระบบโรงไฟฟ้าเชื้อเพลิงแก๊สของ ห.ส.น. รัฐภูมิ นครปฐม (2521)

หลักการหรือกระบวนการผลิตของโรงไฟฟ้าเชื้อเพลิงแก๊ส มีความคล้ายคลึงกับโรงไฟฟ้าพลังงานความร้อน (Thermal Power plant) และกระบวนการผลิตของระบบโรงไฟฟ้าเชื้อเพลิงแก๊ส มีขั้นตอนดังต่อไปนี้

1. เริ่มจากการใช้แก๊สจากโรงสีข้าว ถูกลำเลียงแบบต่อเนื่องมาปั้งโรงไฟฟ้า โดยสายพานลำเลียง
2. เชื้อเพลิงแก๊สที่ถูกลำเลียงมาจากโรงสีข้าว จะถูกเก็บไว้ในถังเก็บเชื้อเพลิง
3. เชื้อเพลิงแก๊สจะถูกป้อนเข้าไปในห้องเผาไหม้ แก๊สจะถูกเผาไหม้ พลังงานความร้อนที่ได้ถูกนำไปปั้นน้ำให้เดือด กลไกเป็นไอน้ำที่ร้อนจัด และมีความดันสูงภายในหม้อไอน้ำ (Boiler)
4. ไอน้ำที่ได้นี้จะถูกส่งไปตามท่อส่งไอน้ำ ไปยังเครื่องกังหันไอน้ำ (Steam turbine) กังหันไอน้ำจะทำงานที่เปลี่ยนพลังงานความร้อนให้เป็นพลังงานกล โดยไอน้ำจะถูกฉีดเข้าไปยังกังหันไอน้ำ เพื่อทำให้กังหันไอน้ำหมุนรอบตัวเอง การหมุนของกังหันไอน้ำนี้จะมีการควบคุมความเร็วรอบตัวย เป็นอุปกรณ์ที่มีความเที่ยงตรงสูงมาก งานที่ได้จากการหมุนของกังหันไอน้ำจะส่งกำลังต่อไปยังเครื่องกำเนิดไฟฟ้า
5. เครื่องกำเนิดไฟฟ้า (Generator) เป็นอุปกรณ์ที่จะเปลี่ยนพลังงานกลให้เป็นพลังงานไฟฟ้า และไฟฟ้าที่ผลิตได้นี้ส่วนหนึ่งใช้เองภายในโรงสีข้าว อีกส่วนหนึ่งจะนำไปใช้กับการไฟฟ้าส่วนภูมิภาค
6. ส่วนไอน้ำที่ผ่านกังหันไอน้ำจะถูกดูดและแรงดันลดลงแล้ว จะถูกทำให้เย็นลงด้วยกระบวนการควบแน่น (Condenser) จะกลไกสภาพเป็นน้ำ ซึ่งน้ำที่ได้นี้เป็นน้ำสะอาด ก็จะถูกส่งไปยังหม้อไอน้ำต่อไป เพื่อนำไปปั้นใหม่และกลไกเป็นไอน้ำ เพื่อผลิตกระแสไฟฟ้า ส่วนน้ำหล่อเย็น (Cooling Water) ที่ใช้จากการควบแน่นแล้วมีอุณหภูมิสูงขึ้น เนื่องจากได้รับการถ่ายเทความร้อนจากเครื่องควบแน่น ก็จะถูกนำมาทำให้เย็นลงภายในหอหล่อเย็น (Cooling Tower) เมื่ออุณหภูมิเย็นลงก็จะถูกนำกลับมาใช้ใหม่อีก
7. ลมร้อนที่ปล่อยออกจากปล่องควันจะถูกดูดด้วยพัดลมดูด (ID Fan) ผ่านระบบกำจัดฝุ่นแบบไซโคลน (Multi Cyclones) เพื่อกีบฝุ่นหายใจ และระบบกำจัดฝุ่นละอองด้วย wet scrubber ซึ่งเป็นม่านน้ำคายดักรับฝุ่นละอองก่อนออกไปปล่องควัน
8. ชี้เอ้าที่ได้จากการเผาไหม้จะถูกลำเลียงด้วยระบบลำเลียงชี้เอ้า เพื่อกีบใบบรรจุสิ่งปฏิกูล และบางส่วนก็กำจัดออกไป

อุปกรณ์หลักของโรงไฟฟ้า

1. ระบบลำเลียงเชื้อเพลิง (Fuel Handling)
2. หม้อไอน้ำ (Boiler)
3. เครื่องกังหันไอน้ำ (Steam turbine)
4. เครื่องผลิตกระแสไฟฟ้า (Generator)
5. เครื่องควบแน่น (Condenser)
6. ระบบกำจัดฝุ่น (Dust Disposal)
7. ระบบลำเลียงชี้เด้า (Ash Handing System)
8. หอหล่อเย็น (Cooling tower)
9. ระบบควบคุมด้านระบบไฟฟ้า (Electrical System)
10. ระบบปรับปรุงคุณภาพน้ำ (Water treatment system)



งานวิจัยที่เกี่ยวข้อง

นิวัฒน์ ดำเนินทอง (2530) ได้ศึกษาทำรายงานผลการวิจัยการประยุกต์พลังงานของระบบหม้อไอน้ำในโรงพยาบาลศรีนครินทร์ จังหวัดขอนแก่น ผู้วิจัยได้ทำการวิเคราะห์พลังงานของหม้อไอน้ำ โดยการประยุกต์กฎข้อที่ 1 ของ อุณหพลศาสตร์ และมาตรการประยุกต์พลังงาน จากการวิเคราะห์ข้อมูลพบว่าประสิทธิภาพตามกฎข้อที่ 1 ของอุณหพลศาสตร์ สำหรับหม้อไอน้ำลูกน้ำ มีค่าเท่ากับ 79.01% จากการวิเคราะห์การประยุกต์พลังงานพบว่า หากเปลี่ยนการใช้น้ำมันเชื้อเพลิง จากน้ำมันดีเซลมาเป็นน้ำมันเตาเกรดซี จะประยุกต์ค่าใช้จ่ายในการซื้อน้ำมันเชื้อเพลิงได้เดือนละ 187,307.47 บาท และจากการวิเคราะห์คุ้มทุนในเวลา 1 ปี ด้วยอัตราดอกเบี้ย 15% จะพบว่าต้นทุนที่ยอมให้ได้มากที่สุดมีค่าเท่ากับ 1,954,448.14 บาท

นิวัฒน์ ดำเนินทอง และชารง เค้าสม (2531) ได้ศึกษาคุณลักษณะ และประสิทธิภาพของหม้อไอน้ำท่อไฟในบริษัทไทยน้ำทิพย์ จังหวัดขอนแก่น จากการศึกษามีค่าตัวหนึ่งเป็นบวกว่า มีประสิทธิภาพ 81.33% มีการสูญเสียพลังงานไปกับแก๊สเสีย 8.85% สูญเสียความร้อนเนื่องจาก การเผา และการแผ่วงสีที่ผิวหม้อไอน้ำ 0.75% นอกจานนี้ยังได้วิเคราะห์ทางเศรษฐศาสตร์ สำหรับกรณีที่นำค้อนเดนส์ทอกลับมาใช้ โดยสมมติให้ประสิทธิภาพการนำความร้อนกลับ เท่ากับ 80 % พบว่าจะต้องลงทุนไม่เกิน 53,540 บาท และไม่เกิน 114,860 บาท จึงจะคุ้มทุนภายใน 2 ปี และ 5 ปี ตามลำดับ

จุลละพงษ์ จุลละโพธิ และอาชา ประทีปเสน (2537) ได้ศึกษาระบบการผลิตร่วมใน โรงงานกระดาษขนาดใหญ่แห่งหนึ่ง ซึ่งประกอบด้วยหม้อไอน้ำขนาด 34.5 ตัน/ชั่วโมง กังหันไอน้ำ และเจนเนอเรเตอร์ขนาด 3,560 กิโลวัตต์ ได้คำนวณหาต้นทุนการผลิตไฟฟ้า และ ต้นทุนการผลิตไอน้ำจากระบบการผลิตร่วม โดยได้ทำแบบจำลองทางคณิตศาสตร์หม้อไอน้ำ และ เทอร์บอเจนแนร์ เพื่อประโยชน์ในการคำนวณความสัมพันธ์ของตัวแปร พบว่า ต้นทุนการผลิตไฟฟ้าจากระบบความร้อนร่วมมีค่า 1.14 Bath/kWh ซึ่งต่ำกว่าราคากองการไฟฟ้า ทำให้โรงงานสามารถประยุกต์ได้ปีละ 38.25 ล้านบาท เมื่อเปรียบเทียบกับเงินลงทุนในระบบการผลิตร่วม ทั้งหมด 165.5 ล้านบาท แล้ว จะช่วยให้คืนทุนภายในระยะเวลา 4.3 ปี ส่วนไอน้ำที่ผลิตได้มีราคาต้นทุน 210 บาท ต่อตัน ซึ่งจัดว่าค่อนข้างต่ำ เช่นกัน ได้ทำการหาอัตราการผลิตไอน้ำที่ทำให้ต้นทุนการใช้พลังงานต่ำที่สุด ได้ว่า อัตราการผลิตไอน้ำที่ 31.14 ตันต่อชั่วโมง เป็นจุดการเดินเครื่องที่มีต้นทุนการใช้พลังงานต่ำที่สุด

ศุภกิจ ศรีวัฒนراجกูร (2541) ได้ศึกษาการปรับปรุงระบบผลิตไอน้ำเพื่อการผลิตไฟฟ้าใน โรงงานน้ำตาล ลักษณะการใช้พลังงานของโรงงานน้ำตาล มีลักษณะดังนี้ เริ่มจากไอน้ำที่ได้

มาจากการเผาการอ้อยในหม้อน้ำ เพื่อผลิตไอน้ำที่ความดันเฉลี่ยอยู่ที่ $22 \text{ kg/cm}^2\text{G}$ โดยจะนำไอน้ำที่ได้ไปขับกังหันไอน้ำ เพื่อผลิตกำลังกล ส่วนไอน้ำที่ออกจากกังหันไอน้ำที่ความดันประมาณ $2 \text{ kg/cm}^2\text{G}$ ให้เป็นแหล่งความร้อนเพื่อให้ความร้อนในการวนการผลิต อุปกรณ์ในกระบวนการการผลิตที่สำคัญๆ ได้แก่ หม้ออุ่นน้ำต่อ (Heater) หม้อระเหยไอน้ำเชื่อม (Evaporator) และหม้อเคี่ยวน้ำต่อ (Vacuum Pan) ส่วนไฟฟ้าแบบทั้งหมดของโรงงานในช่วงฤดูที่บอกร้อย ได้นำจาก การนำกำลังงานกลบ้างส่วนที่ได้จากกังหันไอน้ำไปขับเครื่องกำเนิดไฟฟ้า เพื่อผลิตกระแสไฟฟ้าใช้ในโรงงานและที่พัก จากการเก็บข้อมูลเบื้องต้นทำให้ทราบว่า โรงงานน้ำต่อติดท้ายท่าวัสดุที่มีหม้อน้ำจำนวน 192 ชุด ผลิตไอน้ำที่ความดันเฉลี่ยประมาณ $22 \text{ kg/cm}^2\text{G}$ กำลังการผลิตไอน้ำ 15,900 ตันต่อชั่วโมง และทางโรงงานมีศักยภาพในการผลิตกระแสไฟฟ้ารวมทั้งสิ้น 694,000 kW.

สมเกียรติ บุญณะ (2545) ได้ศึกษาการประหยัดพลังงานที่หม้อไอน้ำ หม้อไอน้ำที่ใช้เชื้อเพลิงในการเผาไหม เพื่อให้ได้ไอน้ำมาใช้ในกระบวนการผลิตต่างๆ ซึ่งแม่นอนจะต้องมีการสูญเสียของพลังงาน และพลังงานที่สูญเสียออกไปทำให้ประสิทธิภาพของหม้อไอน้ำลดลงต่ำกว่า 100 % การสูญเสียพลังงานความร้อน สามารถสรุปได้ 4 หัวข้อ ดังนี้ แก๊สไโอลีสี่อุณหภูมิสูง ที่ออกจากการปล่องของหม้อไอน้ำ, การสูญเสียพลังงานความร้อน, ระบบเผาไหมไม่สมบูรณ์, ความร้อนแห้งของไอน้ำที่ปอนอยู่ในแก๊สเสีย

บันฑิตา ชูทรัพย์ และบรรณาจารย์ ชุณหเศรษฐี (2549) ได้ศึกษาการวิเคราะห์ประสิทธิภาพของโรงไฟฟ้าพลังแก๊ส และต้นทุนการผลิตไฟฟ้าจากแก๊ส ของบริษัท พีอาร์วี พีชพล จำกัด โดยผลการวิเคราะห์ทำให้ทราบว่าหม้อไอน้ำมีประสิทธิภาพ 64.1% ประสิทธิภาพด้านพลังงานของโรงไฟฟ้า 24.64% ประสิทธิภาพรวมของโรงไฟฟ้า 12.29% ต้นทุนการผลิตไฟฟ้า 1.958 Bath / kWh โดยราคาแก๊สที่จุดรับซื้อมีราคา 950 บาท / ตัน จากผลการวิเคราะห์ประสิทธิภาพของโรงไฟฟ้า ทางผู้วิเคราะห์จึงได้เสนอแนวทางลดต้นทุนในการผลิตไฟฟ้าลง โดยวิธีน้ำความร้อนทึ้งจากแก๊สไโอลีสี่ลับมาใช้ให้เกิดประโยชน์สูงสุด โดยจำลองการปรับปรุงเป็น 2 กรณี คือ กรณีที่หนึ่ง ติดตั้งเครื่องแยกเปลี่ยนความร้อน 1 เครื่อง สำหรับอุ่นน้ำป้อน และกรณีที่สอง ติดตั้งเครื่องแยกเปลี่ยนความร้อน 2 เครื่อง สำหรับอุ่นน้ำป้อน และอุ่นอากาศก่อนเข้าห้องเผาไหม จากแบบจำลองการปรับปรุงระบบกรณีที่หนึ่ง ประสิทธิภาพหม้อไอน้ำเพิ่มขึ้นเป็น 66.541% ประสิทธิภาพด้านพลังงานของโรงไฟฟ้าเพิ่มขึ้นเป็น 28.27% ประสิทธิภาพรวมของโรงไฟฟ้าเพิ่มขึ้นเป็น 13.26% คุ้มทุนการผลิตไฟฟ้าลดลงเหลือ 1.799 บาท/กิโลวัตต์/ชั่วโมง สำหรับกรณีที่สอง ประสิทธิภาพหม้อไอน้ำจะเพิ่มขึ้นเป็น 72.98% ประสิทธิภาพด้านพลังงานของโรงไฟฟ้า

เพิ่มขึ้นเป็น 34.31% ประสิทธิภาพรวมของโรงไฟฟ้า เพิ่มขึ้นเป็น 14.58% ต้นทุนการผลิตไฟฟ้าลดลงเหลือ 1.61 บาท/กิโลวัตต์ชั่วโมง

สมเกียรติ บุญยันยะ (2549) ได้ศึกษาวิเคราะห์ประสิทธิภาพ และอัตราส่วนระหว่างพลังความร้อนต่อกำลังไฟฟ้าของโรงไฟฟ้าพลังแก๊ส โรงไฟฟ้าที่ใช้แก๊สเป็นเชื้อเพลิงที่กำลังใช้งานมาถึงปัจจุบัน ซึ่งจะส่งผลโดยตรงต่อต้นทุนการผลิตไฟฟ้า ในภาระวิจัยนี้ได้ใช้ข้อมูลเชลี่ยจากการเดินเครื่องอย่างต่อเนื่องของโรงไฟฟ้ามาวิเคราะห์ โดยเดินเครื่องเฉลี่ยอยู่ที่ประมาณ 6.6 MW_e (67%) จากกำลังการผลิตสูงสุด 9.89 MW_e ผลการวิเคราะห์ประสิทธิภาพของอุปกรณ์หลักฯ ในระบบ จะใช้หลักการสมดุลพลังงาน โดยใช้หลักการบันทึกข้อมูลที่ต่อเนื่องจากโรงไฟฟ้า ซึ่งประกอบด้วย อุณหภูมิอัตราชาร์ไฟฟ้าเฉียงมวล และความตันที่จุดต่างๆ ทำให้ทราบถึงประสิทธิภาพของเครื่องกำเนิดไอน้ำ เครื่องคุ่น้ำป้อน คอนเดนเซอร์ และกังหันไอน้ำ มีค่า 69.5, 96.6, 89.2 และ 85.71% ตามลำดับ และมีการสูญเสียพลังงานความร้อนตามอุปกรณ์ต่างๆ โดยเฉพาะที่ปล่องไออกซิเจน มีค่า 9.8 MW_{th} และพลังความร้อนที่คูลลิ่งทาวเวอร์ฯ ระบบสูบบรรยากาศ มีค่า 19.9 MW_{th} ประสิทธิภาพสูตรของโรงไฟฟ้ามีค่า 12.7% อัตราส่วนพลังความร้อนต่อกำลังไฟฟ้า (kW_{th} / kW_e) มีค่า 7.87 และต้นทุนการผลิตคือ 1.87 Baht/kWh

วิชากร จากรุ๊ก, เปญญาดา ปุยอ้อก และพชรี ชิมเจริญ (2546) ได้ศึกษาศักยภาพของ การใช้แก๊สเป็นเชื้อเพลิงสำหรับโรงไฟฟ้าขนาดเล็ก จากการศึกษาพบว่าประเทศไทยมีความสามารถในการผลิตแหล่งพลังงานหมุนเวียนจากวัสดุเหลือทิ้งจากการเกษตรจำนวนมาก และมีสัดส่วนที่มากกว่าความต้องการใช้พลังงานจากแหล่งพลังงานหมุนเวียน การพิจารณานำวัสดุเหลือทิ้งจากการเกษตรมาใช้เป็นเชื้อเพลิง พบว่าปริมาณของวัสดุเหลือทิ้งจะมีอุปทานกับผลผลิตทางการเกษตรในแต่ละช่วงของปี

“แก๊ส” ซึ่งเป็นวัสดุเหลือทิ้งจากการกระบวนการสีข้าวมีความเหมาะสมต่อกระบวนการเผาไหม้เป็นแหล่งความร้อน เพื่อนำไปใช้ในกระบวนการผลิตกระแสไฟฟ้า เนื่องจากแก๊สมีขนาดเล็ก ให้ค่าความร้อนสูง และความชื้นต่ำ โดยคุณสมบัติของแก๊ส และวิถีการเผาจะทำให้ตัวเปลี่ยนการอุปกรณ์ระบบการเผาไหม้ และระบบการทำงานของเครื่องกำเนิดไอน้ำ การเผาไหม้ที่ใช้แก๊สเป็นเชื้อเพลิง มีมลพิษจาก NO_x และ SO_x ค่อนข้างต่ำไม่ส่งผลกระทบต้านอากาศ และสิ่งแวดล้อม นอกจากนี้ แก๊สยังมีความชื้นประมาณร้อยละ 9 ถึงร้อยละ 15 ซึ่งจะให้ค่าความร้อนของเชื้อเพลิงต่ำสุดของแก๊ส (Lower heating value) มีค่าประมาณ 13,400 กิโล焦ลต่อ กิโลกรัม นอกจากนี้การเผาไหม้เชื้อเพลิงแก๊ส ได้ปริมาณซีเอช (ash) สูงถึงประมาณร้อยละ 18

และเมื่อพิจารณาถึงองค์ประกอบทางเคมีของหินี้แล้วก็พบว่า ร้อยละ 97 เป็นส่วนประกอบของซิลิกอนไดออกไซด์ (SiO_2)

ลงกรานต์ เที่ยงธรรม (2550) ได้ศึกษาความเป็นไปได้ทางการเงินของโครงการโรงไฟฟ้าที่ใช้เชื้อเพลิงแก๊สในจังหวัดสุพรรณบุรี ผลการวิเคราะห์จุดคุ้มทุนทางบัญชี พบว่า จุดคุ้มทุนทางบัญชีของราคาแก๊สสูงสุดเท่ากับ 1,350 บาท/ตัน เป็นโครงการที่ใช้เครื่องจักรจากประเทศสาธารณรัฐประชาชนจีน ขายไฟฟ้าสัญญาระยะสั้นต่อเนื่อง (VSPP non firm contract) ผลการศึกษาจุดคุ้มทุนทางการเงิน พบว่าจุดคุ้มทุนทางการเงินของราคาแก๊สสูงสุดเท่ากับ 1,088 บาท/ตัน เป็นโครงการที่ใช้เครื่องจักรจากประเทศสาธารณรัฐประชาชนจีน ขายไฟฟ้าสัญญาระยะสั้นต่อเนื่อง (VSPP non firm contract) มีระยะเวลาคืนทุนเท่ากับ 5.05 ปี NPV เท่ากับ 263 ล้านบาท IRR มีค่า ร้อยละเท่ากับ 4

ปฏิภาณ ศิวัฒน์พงศ์ และศรavyuth วัยุष (2552) ได้ทำการกระบวนการเผาไม้มีช่องไม่ย่างพาราในเตาเผาที่ประกอบอยู่กับหม้อไอน้ำ การศึกษาผลลัพธ์ความร้อนนี้ได้จากการเผาใหม่ไม้ย่างพาราซึ่งมีความชื้นประมาณ 60% มาตรฐานเปียกในเตาเผาใหม่ที่ประกอบอยู่ในหม้อไอน้ำแบบแยกส่วน อัตราการป้อนเชือเพลิงไม้ย่างพาราเฉลี่ย 900 กิโลกรัมต่อชั่วโมง เป็นเวลา 1 ชั่วโมง 50 นาที คิดเป็นพลังงานความร้อน 15,341 MJ อาการภายในเตาได้รับพลังงานความร้อนจากการเผาใหม่ในเตาเป็นเวลา 4 ชั่วโมง คิดเป็นพลังงานความร้อน 3,525 MJ ค่าประสิทธิภาพของเตามีค่าประมาณ 23%

Chanoknun Sookkumnerd, Nobutaka Ita and Koji Kito (2006) ได้ศึกษาความเป็นไปได้ ของเชื้อเพลิงแก๊ส ที่ใช้กับเครื่องจักรไอน้ำในการผลิตกระแสไฟฟ้า จากพลังงานหมุนเวียนที่มีขนาดเล็กมาก (VSPP) ในประเทศไทย ผลวิจัยได้ศึกษาเชื้อเพลิงแก๊สที่ได้จากกระบวนการผลิตข้าวสาชของโรงสีข้าว และความคุ้มค่าทางด้านการลงทุนในงานวิจัยนี้ ผู้วิจัยได้ทำการศึกษาประเมินการลงทุนของระบบโรงไฟฟ้า รวมถึงเทคโนโลยีของระบบโรงไฟฟ้าในโครงการนี้เริ่มจ่ายไฟฟ้าแล้ว ตั้งแต่เดือนพฤษภาคม 2002 โดยได้จำนวนฝ่ายไฟฟ้าให้กับการไฟฟ้า ส่วนภูมิภาคในประเทศไทย สามารถผลิตพลังงานไฟฟ้าได้ถึง 1 MW โครงการนี้ สามารถสร้างรายได้ให้กับ เจ้าของเชื้อเพลิงแก๊สได้อย่างคุ้มค่า ทั้งในด้านพลังงานและผลตอบแทน จากข้อมูลการวิจัยนี้ได้ทำการวิจัยโรงสีข้าวที่มีกำลังการผลิต ตั้งมีรายละเอียดดังนี้ 35,45,60,95 และ 120 ตัน/วัน แต่จากการศึกษาพบว่า ขนาดโรงสีข้าวที่เหมาะสมที่สุดคือ ขนาดตั้งแต่ 45 ตัน/วัน ถึง 95 ตัน/วัน ใน การศึกษาความเป็นไปได้ของเชื้อเพลิงแก๊ส ที่ใช้กับเครื่องจักรไอน้ำในการผลิตกระแสไฟฟ้านี้ ได้ใช้สมการทางการวิเคราะห์ทางด้านเศรษฐศาสตร์มาเป็นพื้นฐานในการวิเคราะห์

H.van Putten and P. Colonna (2007) ได้ทำการศึกษาการทำงาน ของวัฏจักรไอน้ำโดยใช้แบบจำลองพลวัตของวัฏจักรไอน้ำ และการผลิตไฟฟ้าของโรงไฟฟ้าเชื้อเพลิงชีวมวลขนาดเล็ก ด้วยวัฏจักร Rankine เพื่อผลิตกระแสไฟฟ้าจากเชื้อเพลิงชีวมวลขนาด 600 kw โดยการใช้ค่าพารามิเตอร์ ของวงจรไอน้ำมาใส่ในซอฟต์แวร์ Sim ECS เพื่อเป็นเครื่องมือในการวิจัยการทำงานของระบบวัฏจักรไอน้ำ เพื่อผลิตกระแสไฟฟ้า อุปกรณ์ของระบบที่ทำการศึกษาประกอบฯ ไปด้วย feed water pump, economizer, evaporator, superheater, impulse turbine, electrical generator และcondenser งานด้านการศึกษาการแก้ไขเม็ดของเชื้อเพลิงชีวมวล ผู้จัดได้จำลองการทำงานของโรงไฟฟ้าชีวมวลรวมถึงวงจรไอน้ำ ของโรงไฟฟ้าชีวมวล (biomass) และวัฏจักร Rankine ในภาระวิจัยนี้ ผู้วิจัยได้จำลองศึกษาการทำงานของ Heat exchangers, Impulse turbine, Shaft and generator, Feed water pump และหาประสิทธิภาพตามจุดต่าง ในการทำงานของวัฏจักรไอน้ำ จากงานวิจัยนี้ ยังสามารถถึงการพัฒนาการดำเนินการ และการตรวจสอบแบบจำลองพลวัตของโรงไฟฟ้าชีวมวลขนาดเล็ก โดยใช้หลักการของวัฏจักร Rankine มาใช้ในการวิจัย เพื่อหาประสิทธิภาพทั้งหมดของโรงไฟฟ้าชีวมวลขนาดเล็ก จากการใช้ซอฟต์แวร์ Sim ECS

ยุวดี เรืองเดชา (2543) ได้ศึกษาความเป็นไปได้ทั้งทางด้านเทคนิคและเศรษฐศาสตร์ใน การนำระบบผลิตไฟฟ้าและความร้อนร่วมมาใช้ในโรงสีข้าวขนาด 100-2,000 ตัน/วัน โดยไฟฟ้าที่ ผลิตได้จะนำมาใช้ในกระบวนการสีข้าว ส่วนไฟฟ้าที่เหลือจะขายให้แก่การไฟฟ้า สำหรับความร้อน จากไอน้ำข้าวอกกังหันจะนำมาใช้ในระบบควบแห้งและระบบทำความเย็นแบบดูดกลืน การหา ขนาดของระบบผลิตไฟฟ้า และความร้อนร่วมแบบกันหันไอน้ำชนิด back-pressure ได้ออกแบบ พิจารณาตามแบบ Husk match และแบบ Electric match โดยกำหนดสภาวะไอน้ำเข้า กังหัน ไอน้ำสำหรับโรงสีข้าวขนาด 100-500 ตัน/วัน และ 800-2,000 ตัน/วัน ที่ 25 bar 400°C และ 40bar 400°C ตามลำดับ ผลการศึกษาพบว่า สำหรับกรณีแบบ Husk match จะให้ผลตอบแทนการลงทุน ต่ำกว่ากรณีแบบ Electric match โดยกรณี Husk match ไฟฟ้าที่ผลิตได้สำหรับโรงสีข้าว ขนาด 100-500 ตัน/วัน และ 800-2,000 ตัน/วัน เท่ากับ 0.4-2.0MW และ 3.3-8.2 MW โดยมีระยะเวลาคืน ทุนเท่ากับ 2.0-6.5 ปี และ 2.9-3.3 ปี และ %IRR เท่ากับ 15.69-49.42% และ 29.89-35.37% 9 月 ล า ด บ

พรธิดา เทพประสิทธิ์ (2551) ได้ศึกษาการลดการปล่อยก๊าซเรือนกระจกของโรงไฟฟ้า ชีวมวล กำลังการผลิตไฟฟ้าขนาด 20.0 เมกะวัตต์ พบร่วมมีปริมาณการปล่อยก๊าซเรือนกระจก (Greenhouse Gases) ปีละ 3,084 ตันคาร์บอนไดออกไซด์ต่อปี และมีปริมาณการปลดปล่อยก๊าซ

13 JUL 2018



15550713

เรื่องนัดประจกตลดอดอายุโครงการ 7 ปี เท่ากับ 21,586 ตันคาร์บอนไดออกไซด์ และผลการศึกษามั่งคั่งหอสมุด
มูลค่าทางเศรษฐศาสตร์ พบร่วมกับมีผลตอบแทนจากการขายใบรับรองการลดปริมาณการ
ปลดปล่อยก๊าซเรือนกระจกได้ปีละ 791,000 บาท ลดอดอายุโครงการ ๗

๗๙

๘๑๒๒๗

๒๕๕๔

